

東大土木 学生員 ○龍岡 文夫  
東大土木 学生員 安田 進

§ まえがき

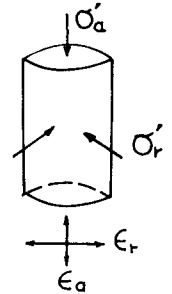
砂を、歪硬化体として扱う場合に、その降伏特性を記述するには、次の2つの側面が、明らかになる必要がある。

1. 応力~歪特性、降伏する際に、ある応力変化に対して、どのような様子で、どれだけ、塑性歪が進行するか、という問題である。応力-タイルタンシー特性は、(b, q, e)座標における、重層的な state surface の概念を用いると、統一的に説明できることが分っている。(龍岡1971, 龍岡, 芝1972) この state surface は、初期の締め固めの程度に応じて存在し、降伏した時の p', q, e 関係を示している。応力-せん断歪特性は、等価歪の概念を用いると、等方圧縮された供試体の、様々な応力経路に対するせん断歪を統一的に記述できる。(龍岡1971)

2. 降伏条件、ある応力履歴、歪履歴を持つ砂が、どの応力条件に対して、塑性変形を進行させるか、という問題である。今回は、この降伏条件について、これまで、明らかになったことについて報告する。

§ 歪硬化体としての砂

Fig.2は、非排水くりかえし試験の結果である。砂が降伏している時の、stress path は、1→2, 4→5, 7→8, 10→11であり、単調載荷時の stress path と一致する。stress path の変曲点Aの



$$p' = \frac{1}{3}(\sigma'_a + 2\sigma'_r)$$

$$q = \sigma'_a - \sigma'_r$$

$$v = \epsilon_a + 2\epsilon_r \text{ (圧縮)}$$

$$\gamma = \epsilon_a - \epsilon_r$$

Fig.1 三軸応力歪状態

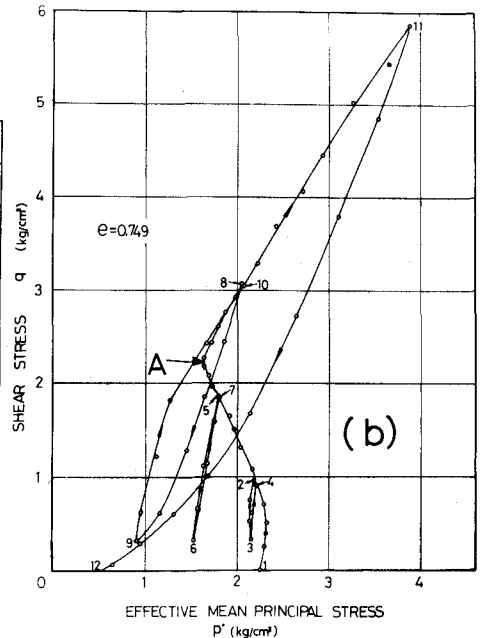
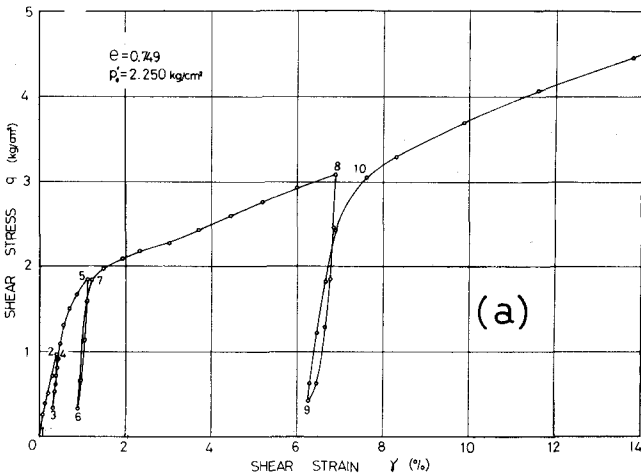


Fig.2 圧縮、非排水くりかえし試験(ゆるぶめ)

前の、除荷と載荷の stress path 2→3と3→4, 5→6と6→7は、ほとんど一致し、それに対応する  $\delta$ - $\gamma$  曲線も一致する。従って、変曲点Aの前では、十分に弾塑性体として扱える。一方、Aを越えての、除荷と載荷の stress path と  $\delta$ - $\gamma$  曲線は、必ずしも一致しない。特に、除荷時の stress path 8→9, 11→12は、著しく原点 ( $p=0, \delta=0$ ) に向ってゆき、除荷の時にも、著しく塑性的挙動が生じている。

### § 砂における yield loci

砂の塑性変形は、圧密による塑性体積歪と、せん断による、塑性体積歪、塑性せん断歪がある。これを統一的に表現するのは、後の課題として、まず、せん断による塑性変形について述べる。Fig. 3は、ゆるづめ砂に対して (a) に示すような stress path の試験をした時の、体積歪特性 (b)、せん断歪特性 (c) である。応力点1まで圧密して、1→2の stress path のせん断する時、塑性変形が生ずる。次に、

2→3→4→5 にかけては、弾性的挙動であるが、応力点5で、塑性体積歪、せん断歪が、同時に開始する。同様に、応力点9, 13で、塑性変形が開始している。従って、(a) の、応力点、2と5, 6と9, 10と13と、結んだ線分は、それぞれ、別な yield locus の一部と考へられよう。同様に、Fig. 4(a) の stress path の実験を行った時にも、変曲点 5, 9, 13, 17が来り、yield locus の

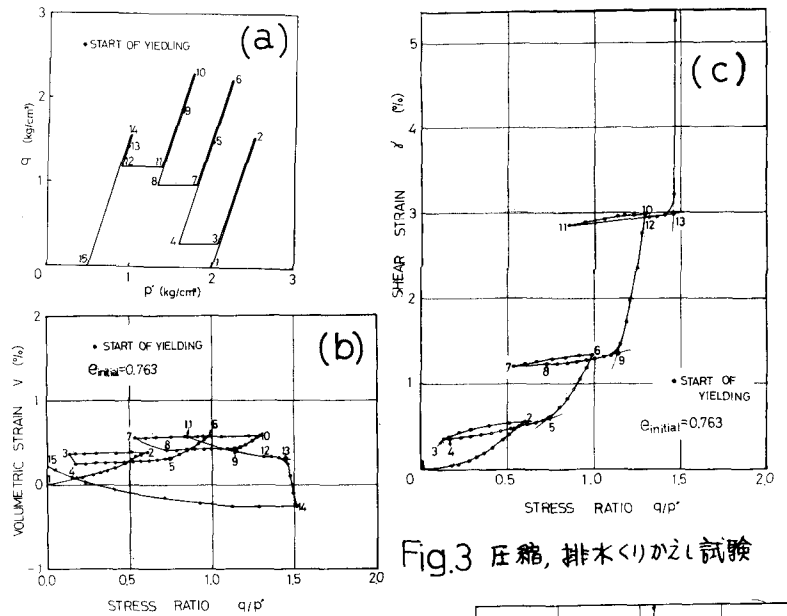


Fig.3 圧縮, 排水くりかえし試験

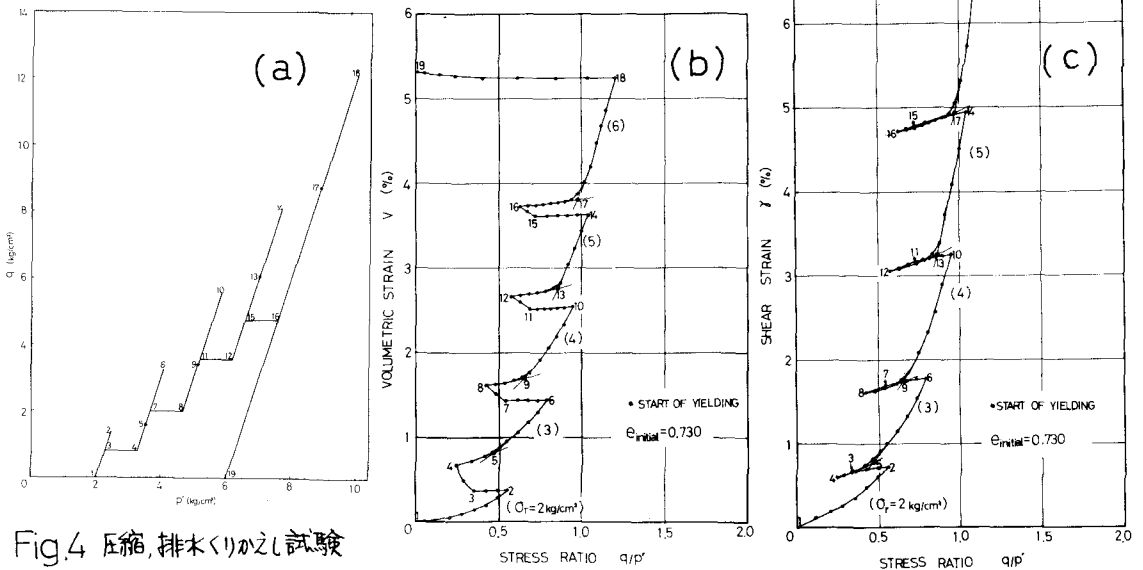


Fig.4 圧縮, 排水くりかえし試験

一部としての、2.5, 6.9, 10.13, 14.17が得られる。この yield loci の  $(p', \eta)$  plane における一般的な形は、どうなるであろうか？ Fig.4のように、くりかえして、次第に  $p'$  が増加してゆく一連の実験の結果をまとめると、以下のようになる。今、Fig.5で示してある stress path において、A点は、これまで受けた最大の  $p'$  に対応する点で、

B点は、降伏点である。この種の試験から得た、このような2点A, Bにおける  $p'_A, p'_B$  と  $\eta_A, \eta_B$  ( $\eta = \sigma/p'$ ) の値から、 $(\eta_B - \eta_A) / (p'_B - p'_A)$  と、 $(p'_A + p'_B) / 2$  の関係とプロットすると、Fig.5のような、 $\eta$  と、くりかえし数  $N$  によらない、一義的な関係が得られた。Fig.3のようなくりかえして、次第に  $p'$  が減少してゆく場合でも、この関係が、ほぼあてはまるようであるが、今の所、 $N$  の数が少なく、はきりしたことは言えない。今、

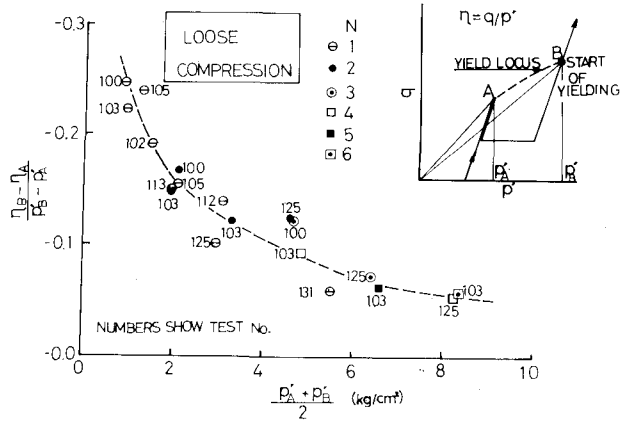


Fig. 5 yield locus を求めるためのグラフ

$$(1) \frac{\eta_B - \eta_A}{p'_B - p'_A} = \frac{d\eta}{dp'}, \quad \frac{p'_A + p'_B}{2} = p'$$

とすると、Fig.5から、 $d\eta/dp'$  と  $p'$  の関係が得られ、

$$(2) \frac{d\eta}{dp'} = f(p') \\ d\eta = f(p') dp'$$

これを、状態1と2の間で積分すると、

$$(3) \eta_2 - \eta_1 = \int_1^2 f(p') dp' = F(p'_2) - F(p'_1)$$

今、1の状態を、 $p' = 0.75 \text{ kg/cm}^2$ ,  $\eta = \eta_1$ , 2の状態を、 $p', \eta$  とすると、

$$(4) F_i(p') = F(p') - F(0.75)$$

が定義できる。Fig.6は、 $F_i(p') \sim p'$  関係である。| $F_i(p')$ |

は、 $p' = 0.75 \text{ kg/cm}^2$  から、 $p' = p'$  の間での、yield loci の  $\eta$  の減少分をあらわしているから、これを用いて、

$(p', \eta)$  plane に yield loci を画くことができる。Fig.7に、それと、実験データを示してある。この yield loci は、Puroshashb (1971) が、提案した形

$$(5) f = \eta + m \ln p' \quad (m = \text{a constant})$$

よりも、曲率が若干小さくなっているが、ほぼ同一の形となっている。Fig.7の yield loci は、塑性変形の少ない  $p'$  軸付近と、 $p'$  がかなり大きな部分を除いた範囲では、 $p'$  の増加と共に、 $\eta$  は減少するが、 $\eta$  が増加して

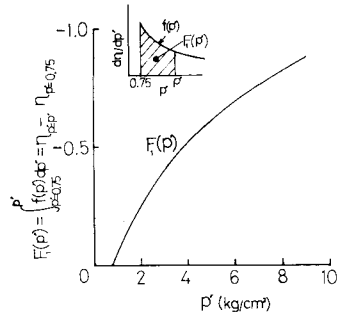


Fig.6  $F_i(p') \sim p'$  関係

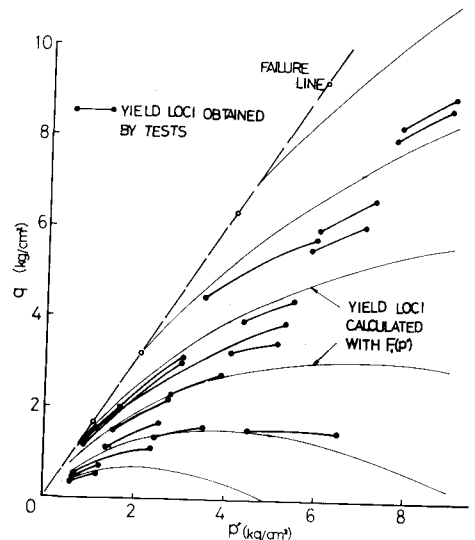


Fig.7  $p' \sim \eta$  面上の yield loci

ゆく形となっている。従って、 $\beta$ -一定試験、 $\beta$ -一定  $p'$  減少試験では、せん断降伏し、 $\beta$ -一定  $p'$  増加試験では、せん断降伏しないことになるが、これは、実験結果と一致する。又、この yield loci は、粘土に対して、提案されているもの (Roscoe, et. al 1963. Ohta, et. al 1971) とは、異なった性質を持っているのは、注目すべきことと思われる。

### § 歪硬化の異方性

ここで言う、異方性とは、砂では、粘土で提案されているような、等方歪硬化モデル (Schofield et. al 1968) は、適用できない、という意味である。Fig. 8(a) の stress path ( $\sigma_1$ -一定、偏差応力を次第に増加させながら、伸張側圧縮のくりかえし) に対する、体積歪特性が、(b) に示してある。1→2の間では、降伏が生じ、次に除荷し、伸張側に移ると、3の点から降伏が生じている。そして、次に、再び圧縮側に移ると、前の最大応力点を越えるまで、降伏が開始する。このように、 $|\beta|$  が、まだ破壊値に、それほど近くないと、歪硬化が、圧縮側、伸張側で、独立に生じていると言えよう。しかし、破壊応力比に近づいてくると、22以降のように、除荷時にも、供試体は、着しく収縮するようになる。これは、Fig. 2 での、stress path 8→9, 10→11 に対応する現象である。小田の研究 (1972) によると、砂は、初期構造に、異方性がある他に、せん断の進行と共に、構造の異方性が発達してゆく。砂の歪硬化とは、このような構造の異方性の発達を、別な言葉で言ったものと言えよう。従って、せん断面の回転があるようになりかえし 載荷は、しめかため、液状化に、非常に効果のあることになる。李の中空三軸を用いた液状化の研究 (1972) も、これを示している。

### § まとめ

- (1) 一定の限界性はあるが、砂を歪硬化体として扱って、その変形特性を、研究することができると。
- (2) 砂の yield locus は、 $\beta$  の増加と共に、 $\beta$  が増加してゆくような形をしている。
- (3) 砂の歪硬化は、異方的である。

§ 謝辞、本研究をすすめるにあたって、総仕上げ御指導をいただいた、最上教授 (白大)、福岡教授、石原助教、実験を共に行った吉原君 (千葉工大4年) に、感謝致します。

§ 参考文献 □ 龍岡文夫 (1971) : 三軸圧縮における砂の応力-歪特性 (第3報) 第26回土壌学会 □ 龍岡文夫, 芝野司 (1972) : 三軸装置における砂の応力-歪特性 (第3報) 第7回土壌学会 □ Poorooshasb, H. B. (1971) "DEFORMATION OF SAND IN TRIAXIAL COMPRESSION" 73rd 会議 □ Roscoe, K. H. et. al (1963) "Yielding of Clays in States Wetter than Critical" Géotechn. □ Ohta, H. et. al (1971) "PLANE-STRAIN STRESS-STRAIN RELATIONS FOR SOILS" 73rd 会議 □ Schofield and Wroth "Critical State Soil Mechanics" 1968 □ 小田 匡寛ら (1972) : 砂の微視的な変形機構について : 第7回土壌学会 □ 李相一ら (1972) : 中空三軸におおる飽和砂のくりかえしせん断 : 第7回土壌学会

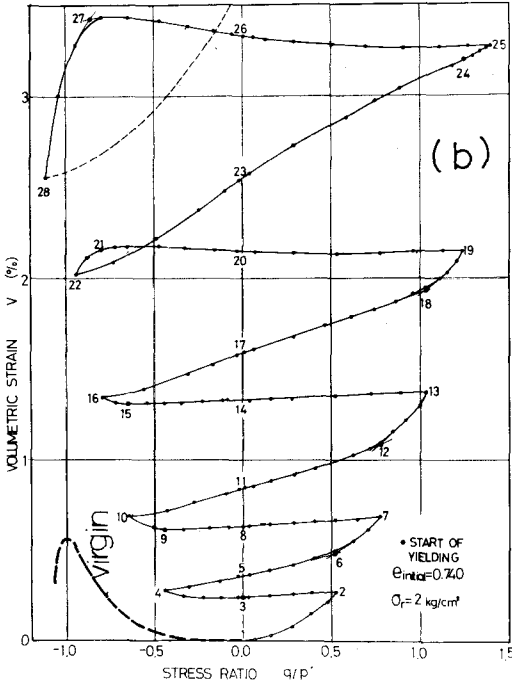
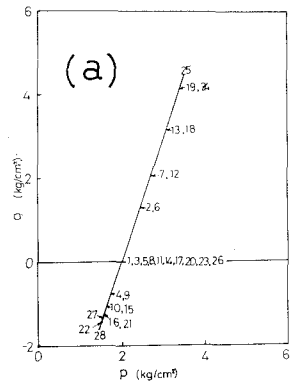


Fig. 8 排水くりかえし試験 (圧縮⇔伸張)